

Институт механики Академии Наук Союза ССР
Прикладная математика и механика. Том XIII, 1949

О РАСПРОСТРАНЕНИИ СФЕРИЧЕСКИХ ВОЛН
В УПРУГО-ПЛАСТИЧЕСКОЙ СРЕДЕ

Я. Л. Лунц

(Ленинград)

В работе рассматривается распространение сферических волн, возникающих в безграничном пространстве, заполненном упруго-пластической средой при приложении центральносимметричной нагрузки к поверхности сферической полости, вырезанной в этом пространстве. В разделах 1—5 рассматривается случай активного нагружения и определяются смещения в упругой и пластически деформированной части пространства¹. Находится радиус распространения сильного разрыва пластической волны в зависимости от величины начального давления. В разделе 6 рассматривается простейшая задача о распространении волны разгрузки. Дается метод построения приближенного решения для области остаточных деформаций².

1. Основные уравнения. Пусть на границе сферической полости единичного радиуса возникает в некоторый момент равномерное давление $p(t)$, превосходящее предел упругости материала. Ниже будет показано, что в этом случае появляются две сферические волны, соответствующие упругим и пластическим деформациям, которые распространяются с различными скоростями.

Обозначим через $\sigma_1, \sigma_2, \sigma_3$ и e_1, e_2, e_3 соответственно главные напряжения и главные деформации по трем взаимно перпендикулярным площадкам. Как известно, интенсивность напряжений сдвига σ_i и интенсивность деформаций сдвига ε_i определяются формулами

$$\sigma_i = \frac{1}{\sqrt{6}} \sqrt{(\sigma_1 - \sigma_2)^2 + (\sigma_2 - \sigma_3)^2 + (\sigma_3 - \sigma_1)^2}$$

$$\varepsilon_i = \sqrt{\frac{2}{3}} \sqrt{(e_1 - e_2)^2 + (e_2 - e_3)^2 + (e_3 - e_1)^2}$$

Теория пластичности приводит к следующим трем законам, связанным напряжения с деформациями^[3]:

1. Закон пластичности:

$$\sigma_i = F(\varepsilon_i)$$

Здесь F — известная функция, удовлетворяющая условию $dF/d\varepsilon_i \geq 0$.

2. Закон сопротивляемости или закон пропорциональности среднего гидростатического напряжения средней деформации:

$$\sigma = 3Ke \quad \left(\sigma = \frac{\sigma_1 + \sigma_2 + \sigma_3}{3}, \quad e = \frac{e_1 + e_2 + e_3}{3} \right)$$

где K — модуль объемного сжатия.

¹ Эта задача иными методами рассматривалась в литературе [1,2].

² Для случая распространения плоских упруго-пластических волн эта задача рассматривалась в работах [3,4].

3. Закон пропорциональности девиатора напряжений девиатору деформаций. В скалярном виде он описывается шестью уравнениями вида

$$X_x - \sigma = 2G(e_{xx} - e), \quad X_y = Ge_{xy} \quad (x, y, z)$$

Для случая симметричной деформации эти уравнения упрощаются.

Введем сферические координаты r, φ, θ . Тогда напряжения $\sigma_r, \sigma_\varphi, \sigma_\theta$ и деформации e_r, e_φ, e_θ будут главными, и имеют место равенства

$$\begin{aligned} \sigma_\varphi &= \sigma_\theta, & e_\varphi &= e_\theta, & e_r &= \frac{\partial u}{\partial r}, & e_\varphi &= \frac{u}{r} \\ \sigma_r &= \frac{1}{\sqrt{3}}(\sigma_\varphi - \sigma_r), & \varepsilon_r &= \frac{2}{\sqrt{3}}\left(\frac{u}{r} - \frac{\partial u}{\partial r}\right) \end{aligned}$$

где $u(r, t)$ — смещение в направлении радиуса. Соотношения между напряжениями и деформациями примут вид

$$\sigma_\varphi - \sigma_r = \sqrt{3}F\left[\frac{2}{\sqrt{3}}\left(\frac{u}{r} - \frac{\partial u}{\partial r}\right)\right], \quad \sigma_r + 2\sigma_\varphi = 3K\left(\frac{\partial u}{\partial r} + \frac{2u}{r}\right) \quad (1.1)$$

Заметим, что мы будем рассматривать такие деформации, для которых легко установить, что

$$\sigma_\varphi - \sigma_r > 0, \quad \frac{u}{r} - \frac{\partial u}{\partial r} > 0$$

К уравнениям (1.1) нужно присоединить уравнение равновесия

$$\frac{\partial \sigma_r}{\partial r} + 2\frac{\sigma_r - \sigma_\varphi}{r} = \rho \frac{\partial^2 u}{\partial t^2} \quad (1.2)$$

где ρ — плотность среды, которую считаем постоянной. Для удобства введем функцию $f(x)$

$$f(x) = \frac{2\sqrt{3}}{3\rho}F\left(\frac{2}{\sqrt{3}}x\right) + \frac{K}{\rho}x \quad (1.3)$$

Подставим (1.3) в первое равенство (1.1), тогда получим

$$\sigma_\varphi - \sigma_r = \frac{3\rho}{2}\left[f\left(\frac{u}{r} - \frac{\partial u}{\partial r}\right) - \frac{K}{\rho}\left(\frac{u}{r} - \frac{\partial u}{\partial r}\right)\right] \quad (1.4)$$

Второе равенство (1.1) и (1.4) дают

$$\sigma_r = -\rho f\left(\frac{u}{r} - \frac{\partial u}{\partial r}\right) + 3K\frac{u}{r} \quad (1.5)$$

Введем обозначение

$$\theta = \frac{u}{r} - \frac{\partial u}{\partial r} \quad (1.6)$$

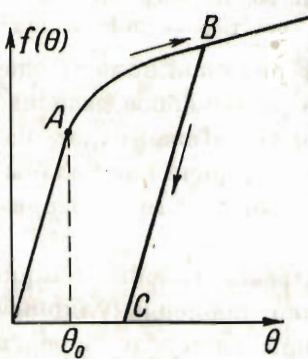
Подстановка (1.4) и (1.5) в (1.2) дает уравнение

$$\frac{\partial f(\theta)}{\partial r} + \frac{3f(\theta)}{r} = -\frac{\partial^2 u}{\partial t^2} \quad (1.7)$$

Введем обозначение $-\partial u / \partial t = v$. Система квазилинейных уравнений

$$\frac{df(\theta)}{dr} + \frac{3f(\theta)}{r} = \frac{\partial v}{\partial t}, \quad \frac{\partial \theta}{\partial t} = \frac{\partial v}{\partial r} - \frac{v}{r} \quad (1.8)$$

будет эквивалентна уравнению (1.7).



Фиг. 1

Заметим, что в области упругих деформаций, где

$$f(\theta) \equiv a_0^2 \theta \quad \left(a_0^2 = \frac{\lambda + 2\mu}{\rho} \right)$$

уравнение (1.7) принимает известный вид:

$$\frac{\partial^2 u}{\partial r^2} + \frac{2}{r} \frac{\partial u}{\partial r} - \frac{2u}{r^2} = \frac{1}{a_0^2} \frac{\partial^2 u}{\partial t^2} \quad (1.9)$$

Характеристическая система дифференциальных уравнений, соответствующая системе (1.8), имеет вид

$$\frac{\partial r}{\partial \alpha} - a(\theta) \frac{\partial t}{\partial \alpha} = 0, \quad \frac{\partial v}{\partial \alpha} - a(\theta) \frac{\partial \theta}{\partial \alpha} - \frac{3f(\theta)}{r} \frac{\partial t}{\partial \alpha} - \frac{v}{r} \frac{\partial r}{\partial \alpha} = 0 \quad (1.10)$$

$$\frac{\partial r}{\partial \beta} + a(\theta) \frac{\partial t}{\partial \beta} = 0, \quad \frac{\partial v}{\partial \beta} + a(\theta) \frac{\partial \theta}{\partial \beta} - \frac{3f(\theta)}{r} \frac{\partial t}{\partial \beta} - \frac{v}{r} \frac{\partial r}{\partial \beta} = 0 \quad (1.11)$$

Здесь

$$a(\theta) = \sqrt{f'(\theta)}$$

Эту величину будем называть скоростью распространения волны.

Линии $\beta = \text{const}$ и $\alpha = \text{const}$ назовем соответственно характеристическими проекциями положительного и отрицательного направлений.

В области упругих деформаций $a(\theta) = a_0$ и характеристические проекции на плоскости (r, t) суть два семейства прямых

$$dr/dt = \pm a_0$$

В общем случае характеристические проекции являются интегральными кривыми уравнений

$$dr/dt = \pm a[\theta(r, t)]$$

В дальнейшем мы будем рассматривать только такие функции $f(\theta)$, для которых имеют место неравенства

$$0 < a_1 \leq f'(\theta) \leq a_0, \quad f'' \leq 0 \quad (1.12)$$

При $\theta \leq \theta_0$ деформации считаем упругими, т. е.

$$f(\theta) = a_0^2 \theta$$

На фиг. 1 дан вид функции $f(\theta)$, точка A соответствует пределу упругости.

2. Начальные и граничные условия. Будем решать задачу, при следующих начальных и граничных условиях:

$$u(r, t) = 0 \quad \frac{\partial u(r, t)}{\partial t} = 0 \quad \text{при } t = 0 \quad (2.1)$$

$$\sigma_r = p(t) < 0 \quad \text{при } r = 1 \quad (2.2)$$

Вспользуемся формулой (1.5). Тогда (2.2) примет вид

$$-\rho f \left(u - \frac{\partial u}{\partial r} \right) + 3Ku = p(t) \quad \text{при } r = 1 \quad (2.3)$$

Относительно давления $p(t)$ по поверхности полости предполагаем, что оно по модулю монотонно возрастает ($dp/dt < 0$).

Случай мгновенно включенного давления ($p(0) \neq 0$) следует рассматривать как предельный случай монотонно возрастающего от нуля давления. Повторяя при этом рассуждения Х. А. Рахматулина [3, 6], можно легко показать, что точка $r = 1, t = 0$ является точкой многозначности для функции $\theta(r, t)$, определенной в (1.6).

В этой точке функция θ принимает все значения, определяемые из неравенства

$$p(0) \leq -\varphi f(\theta) \leq p_s, \quad p_s = -\varphi f(\theta_0) \quad (2.4)$$

Характеристические проекции, исходящие из особой точки, покрывают некоторую область G , ограниченную двумя «крайними» характеристиками AB и AC (фиг. 2). Прямая AB , уравнение которой $r - 1 = a_0 t$, является линией разрыва для функций $\partial u / \partial r$ и θ . На

прямой AB и ниже ее $u = 0$. Внутренняя производная вдоль прямой AB будет

$$\frac{du}{dt} = \frac{\partial u}{\partial t} + \frac{\partial u}{\partial r} \frac{dr}{dt} = 0$$

так как $u = 0$ вдоль AB . Отсюда

$$v + a_0 \theta = 0 \quad (2.5)$$

так как $\partial u / \partial t = -v, \partial u / \partial r = -\theta$.

Положим $\alpha = r$ и перепишем второе из уравнений (1.10) при условии (2.5)

$$-2a_0 \frac{d\theta}{dr} - 2a_0 \frac{\theta}{r} = 0 \quad (2.6)$$

Мы здесь воспользовались тем, что $a(\theta) = a_0$ на AB и $f(\theta) = a_0^2 \theta$. Легко видеть, что в особой точке на прямой AB следует положить $\theta = \theta_0$. Тогда из (2.6) получим

$$\theta = \frac{\theta_0}{r} \quad (2.7)$$

Отметим, что вдоль AB функция $\theta(r, t)$ убывает. Это свойство мы докажем в дальнейшем для любой характеристической проекции, исходящей из особой точки. Используя последнее из уравнений (1.11) и соотношение (2.5), можно установить связь между v и θ в особой точке. Последовательно имеем

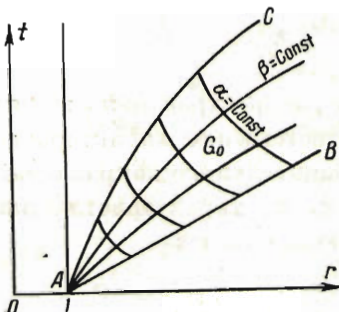
$$v - v_0 = - \int_{\theta_0}^{\theta} a(\theta) d\theta, \quad v + a_0 \theta_0 = - \int_{\theta_0}^{\theta} a(\theta) d\theta \quad (2.8)$$

Из (2.8) следует, что

$$\frac{\partial u}{\partial t} = a_0 \theta_0 + \int_{\theta_0}^{\theta} a(\theta) d\theta > 0$$

в особой точке, а тогда из (1.5) следует, что

$$\frac{\partial \theta}{\partial t} \varphi f'(\theta) = -\frac{dv}{dt} + 3K \frac{\partial u}{\partial t}$$



Условие $d p / dt < 0$ обеспечивает положительность $\partial \theta / \partial t$ в некоторой окрестности особой точки, т. е. активность деформации. Сформулируем теперь задачу о распространении активной деформации.

Требуется решить уравнение (1.7) при первом из условий (2.1), (2.7) и (2.3), считая деформацию активной.

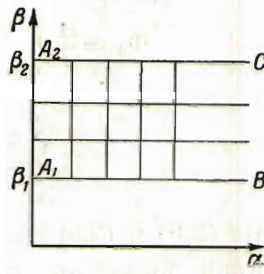
3. Поведение функции θ вдоль характеристик в области G . Дифференцирование уравнений (1.10) по β и (1.11) по α приводит после преобразований к уравнениям

$$\Phi_{\alpha\beta} = -\frac{1}{r}(\Phi_\alpha r_\beta + \Phi_\beta r_\alpha) + \frac{6f[\theta(\Phi)]r_\alpha r_\beta}{r^2 a} \quad (3.1)$$

$$r_{\alpha\beta} = \frac{da}{d\theta} \frac{1}{2a^2} (\Phi_\alpha r_\beta + \Phi_\beta r_\alpha) \quad (3.2)$$

Здесь введена новая функция

$$\Phi(\theta) = \int_0^\theta a(\theta) d\theta \quad (3.3)$$



Фиг. 3

Изучим поведение $\Phi(\theta)$ вдоль характеристик в области G . Примем для определенности за параметр α величину $r_0 = 1$, где r_0 — абсцисса точки на характеристике AB , а за параметр β — значение θ в особой точке. Каждой точке в области G , кроме граничных точек, соответствует единственная точка на плоскости (α, β) . Особой точке соответствует отрезок $[\beta_0, \beta_1]$ оси β , причем

$$\beta_0 = \theta_0, \quad \beta_1 = \theta_1 = \max \theta$$

Функции Φ и r могут быть единственным образом определены как решения характеристической задачи Коши для системы уравнений (3.1) и (3.2) при известных значениях Φ и r на характеристиках A_1A_2 и A_1B (фиг. 3).

Покажем, что существует такая окрестность G_0 особой точки, что в ней $\Phi_\alpha < 0$ и $\theta > 0$, и оценим ее величину. Это позволит доказать существование решения задачи, сформулированной в следующем параграфе. Из (3.1) и (3.2) можно получить интегральные уравнения

$$\Phi_\alpha[\theta(\alpha, \beta)] = \frac{r_0}{r} \left[\Phi_\alpha(\theta) \Big|_{\beta=\beta_0} + \frac{1}{r_0} \int_{\beta_0}^\beta \left(-\Phi_\beta r_\alpha + \frac{6f(\theta)}{ra} r_\alpha r_\beta \right) d\beta \right] \quad (3.4)$$

$$\Phi_\beta[\theta(\alpha, \beta)] = \frac{1}{r} \left[\Phi_\beta(\theta) \Big|_{\alpha=0} + \int_0^\alpha \left(-\Phi_\alpha r_\beta + \frac{6f(\theta)}{ra} r_\alpha r_\beta \right) d\alpha \right] \quad (3.5)$$

$$r_\alpha(\alpha, \beta) = \sqrt{\frac{a(\theta)}{a_0}} \left[r_\alpha(\alpha, \beta_0) + \frac{\sqrt{a_0}}{2} \int_{\beta_0}^\beta \frac{\partial a(\theta)}{\partial \alpha} a^{-\frac{3}{2}}(\theta) r_\beta d\beta \right] \quad (3.6)$$

$$r_\beta(\alpha, \beta) = \frac{\sqrt{a(\theta)}}{2} \int_0^\alpha \frac{\partial a(\theta)}{\partial \beta} a^{-\frac{3}{2}}(\theta) r_\alpha d\alpha \quad (3.7)$$

Воспользуемся для дальнейших оценок соотношениями, вытекающими из (2.7) и из способа выбора параметров α и β :

$$r_\alpha > 0, \quad t_\alpha > 0, \quad r_\beta \leq 0, \quad t_\beta \geq 0, \quad r_\alpha(\alpha, \beta_0) = 1, \quad r_\beta(0, \beta) = 0 \quad (3.8)$$

$$\theta(0, \beta) = \beta, \quad \theta(\alpha, \beta_0) = \frac{\theta_0}{r_0} > 0, \quad \Phi_\alpha \Big|_{\beta=\beta_0} = -\frac{a_0 \theta_0}{r_0^2} < 0, \quad \Phi_\beta \Big|_{\alpha=0} = a(\beta) \quad (3.9)$$

Из (3.4) и (3.5) имеем

$$\begin{aligned} \Phi_\alpha = \frac{1}{r} \left\{ -\frac{a_0 \theta_0}{r_0} + \int_{\beta_0}^{\beta} \frac{6f(\theta) r_\alpha r_\beta}{ra(\theta)} d\beta - \int_{\beta_0}^{\beta} \frac{r_\alpha}{r} a(\beta) d\beta - \right. \\ \left. - \int_{\beta_0}^{\beta} \frac{r_\alpha}{r} \left[\int_0^\alpha \left(-\Phi_\alpha + \frac{6f(\theta) r_\alpha}{ra(\theta)} \right) r_\beta d\alpha \right] d\beta \right\} \end{aligned} \quad (3.10)$$

Из (3.8) и (3.9) следует, что положительным может быть только двойной интеграл, но если α_0 выберем малым, то его абсолютная величина будет также мала при всех $\alpha \leq \alpha_0$, а следовательно, $\Phi_\alpha < 0$. При этом мы пользуемся еще тем, что $\theta(\alpha, \beta) > 0$ в некоторой окрестности $\alpha = 0$, но это вытекает просто из непрерывности функции $\theta(\alpha, \beta)$ в области G и на границе $\alpha = 0$. Итак, существование G_0 доказано.

Оценим эту окрестность. В области G_0 , пользуясь (3.10), получим

$$\Phi_\alpha \geq \frac{1}{r} \left[-\frac{a_0 \theta_0}{r_0} + \frac{6f(\theta_1)}{a_1} \log \frac{r}{r_0} + \frac{1}{r} a_0 (\theta_0 - \theta_1) \right] \quad (3.11)$$

Здесь мы использовали неравенство $r_\alpha \leq 1$, справедливое в G_0 в силу (3.6) и (3.8). Вдоль характеристик имеем $a_1 \leq |dr/dt| \leq a_0$. Отсюда следует геометрически очевидное неравенство: $r > 2a_1 r_0 / (a_0 + a_1)$, где, как и выше, принято: $r = r(\alpha, \beta)$ и $r_0 = r(\alpha, \beta_0)$. Пользуясь этим неравенством, получим

$$\Phi_\alpha > -\frac{\theta_1 a_0}{r} \left[1 + 3 \frac{a_0}{a_1^2} (a_0 - a_1) \right], \quad \Phi_\alpha > -\frac{M_1 \theta_1}{r_0} \quad (3.12)$$

где

$$M_1 = a_0 \left[1 + 3 \frac{a_0}{a_1^2} (a_0 - a_1) \right] \frac{a_0 + a_1}{2a_1}$$

Проинтегрируем (3.12) по α и, вспомнив, что $\alpha = r_0 - 1$, получим

$$\Phi[\theta(\alpha, \beta)] - \Phi[\theta(0, \beta)] > -M_1 \theta_1 \log r_0$$

Чтобы функция θ была положительной, потребуем, чтобы

$$r_0 \leq \exp \left\{ \frac{a_0 \theta_0}{M_1 \theta_1} \right\} \quad (3.13)$$

Оценим Φ_α сверху в G_0 . Из (3.10) получим

$$\begin{aligned} \Phi_\alpha &\leq \frac{1}{r} \left[-\frac{a_0 \theta_0}{r_0} - \frac{1}{r} \int_0^\alpha \left[\frac{2M_1 \theta_1 a_1}{a_0 + a_1} + \frac{6f(\theta_1)}{a_1} \right] \log \frac{r}{r_0} d\alpha \right] \leq \\ &\leq \frac{1}{r} \left\{ -\frac{a_0 \theta_0}{r_0} + \theta_1 \delta \frac{a_0 - a_1}{2a_1} \left[M_1 + \frac{3a_0^2(a_0 + a_1)}{a_1^2} \right] \frac{r_0 - 1}{r_0} \right\} \end{aligned} \quad (3.14)$$

В неравенстве (3.14) через δ обозначено следующее отношение

$$\delta = \left(\log \frac{a_0 + a_1}{2a_1} \right) : \left(\frac{a_0 - a_1}{2a_1} \right) < 1$$

Тогда, чтобы функция $\partial\theta / \partial\alpha$ была отрицательной, потребуем, чтобы

$$r_0 \leqslant 1 + \frac{a_0\theta_0}{M_2\theta_1} \quad \left(M_2 = \frac{a_0 - a_1}{2a_1} \left[M_1 + \frac{3a_0^2(a_0 + a_1)}{a_1^2} \right] \right)$$

Очевидно, что при

$$r_0 \leqslant \min \left[\exp \left\{ \frac{a_0\theta_0}{M_1\theta_1} \right\}, 1 + \frac{a_0\theta_0}{M_2\theta_1} \right] \quad (3.15)$$

выполняются одновременно неравенства $\theta > 0$ и $\partial\theta / \partial\alpha < 0$, следовательно, эта окрестность должна принадлежать G_0 . Заметим, что правая часть (3.15) зависит только от отношений θ_0 / θ_1 и a_0 / a_1 .

4. Схема Прандтля.¹ Пусть функция $f(\theta)$ задана в следующем виде:

$$f(\theta) = \begin{cases} a_0^2 \theta & \text{при } \theta \leqslant \theta_0 \\ a_1^2 \theta + (a_0^2 - a_1^2) \theta_0 & \text{при } \theta \geqslant \theta_0 \end{cases} \quad (4.1)$$

где

$$a_0 = \sqrt{\frac{4G_e + 3K}{3\rho}}, \quad a_1 = \sqrt{\frac{4G_p + 3K}{3\rho}}$$

Здесь G_e и G_p — упругий и пластический модули сдвига. Это так называемая «схема Прандтля», представленная на фиг. 4.

В точке $\theta = \theta_0$ производная $f(\theta)$ терпит разрыв. Поэтому нужно особо определить, что мы будем называть решением уравнения (1.7) или системы (1.8).

Рассмотрим последовательность достаточно гладких функций $f_n(\theta)$ таких, что $f_n(\theta) = f(\theta)$ при $\theta \leqslant \theta_n^{(0)} < \theta_0$ и $\theta \geqslant \theta_n^{(1)} > \theta_0$, а при $\theta_n^{(0)} < \theta < \theta_n^{(1)}$ все $f_n(\theta)$ имеют отрицательные вторые производные (фиг. 4)

Пусть, кроме того,

$$\lim_{n \rightarrow \infty} \theta_n^{(0)} = \lim_{n \rightarrow \infty} \theta_n^{(1)} = \theta_0, \quad f_n(\theta) \rightarrow f(\theta), \quad \theta_n^{(1)} < \theta_1$$

Обозначим через $u_n(r, t)$ решение задачи, соответствующее функции $f_n(\theta)$. Решением поставленной задачи в некоторой области G будем называть такую непрерывную функцию $u_0(r, t)$, которая является

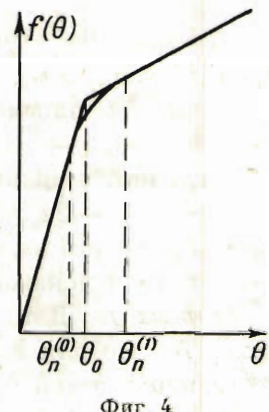
¹ Случай идеальной пластичности ($G_p = 0$) рассматривал Альтшулер^[1]. Параметрическость его результатов объясняется противоречивостью граничного условия (1) с законом сжимаемости. Из последнего и условия пластичности имеем

$$\sigma_r = E_n \left(\frac{\partial u}{\partial r} + \frac{2u}{r} \right) - \frac{2|\sigma_0|}{3}$$

а из (1) на фронте волны ($u = 0$) следует

$$\sigma_r = E_n \frac{\partial u}{\partial r}$$

Оба равенства возможны только при $\sigma_0 = 0$, что абсурдно.

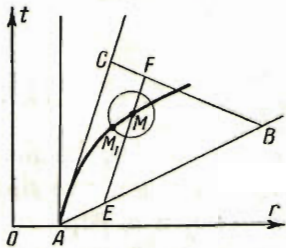


Фиг. 4

пределом в среднем для последовательности функций $u_n(r, t)$, т. е.

$$\lim_{n \rightarrow \infty} \iint_{(G)} (u_0 - u_n)^2 d\sigma = 0$$

Выберем положительное число θ^* так, что $\theta^* < \theta_n^{(0)}$ при любом n и определим окрестность G_0 неравенством



$$r_0 \leq \min \left[\exp \frac{a_0 \theta^*}{M_1 \theta_1}, 1 + \frac{a_0 \theta^*}{M_2 \theta_1} \right]$$

Заметим, что определенная этим неравенством окрестность не зависит от n и в ней имеет место неравенство для всех n :

$$k \leq \frac{\partial \theta_n}{\partial \alpha} \leq K < 0 \quad (4.2)$$

Фиг. 5

которое следует из (3.12) и (3.14).

Так как $\theta_1 > \theta_n^{(1)}$, то можно указать такую окрестность $\alpha \leq \alpha_0$, принадлежащую G_0 , в которой $\theta_n(\alpha, \beta_1) \geq \theta_n^{(1)}$ при любом n .

Тогда на плоскости r, t она будет заключена между прямыми $r - 1 = a_0 t$ и $r - 1 = a_1 t$ и характеристикой $\alpha = \alpha_0$. Мы эту окрестность не увеличим, если вместо характеристики $\alpha = \alpha_0$ ограничим ее прямой $r - 1 = -a_0 t + 2\alpha_0$. Тогда мы получим треугольник ABC (фиг. 5), принадлежащий области G_0 при любом n . Проведем прямую EF параллельно AC и докажем две теоремы.

Теорема 1. Для каждого отрезка EF (фиг. 5) найдется такой номер N , что для всех $n \geq N$ и всех точек отрезка EF будет иметь место неравенство $\theta_n(M) < \theta_n^{(0)}$.

Доказательство. Опишем из любой точки M отрезка EF окружность радиуса ρ , не пересекающую прямой AC . Пусть M_1 (фиг. 5) точка пересечения этой окружности с характеристикой AM . Тогда при помощи (4.2) и неравенства $r_\alpha \leq 1$ получим

$$\theta_n(M) = \theta_n(M_1) + \int_{z(M_1)}^{\alpha(M)} \frac{\partial \theta_n}{\partial \alpha} d\alpha \leq \theta_n(M_1) + \rho K$$

Но $\theta_n(M_1) < \theta_n^{(1)}$, так как в противном случае характеристика в точке M_1 была бы параллельна AC и, следовательно, она не могла бы выходить из A . Поэтому

$$\theta_n(M) < \theta_n^{(1)} + \rho K$$

Но $\theta_n^{(1)} = \theta_n^{(0)} + \varepsilon_n$, где $\varepsilon_n \rightarrow 0$ при $n \rightarrow \infty$.

Следовательно, найдется такое N , что при $n \geq N$ будет $\varepsilon_n + \rho K \leq 0$ и тогда $\theta_n(M) < \theta_n^{(0)}$ для всех M , что и требовалось доказать.

Следствие. При $n \geq N$ в $\triangle EBF$ будет $\theta_n(M) < \theta_n^{(0)}$, так как $\partial \theta_n / \partial \alpha < 0$ в $\triangle EBF$. Это означает, что деформации здесь упругие и что в EBF функции $u_n(r, t)$ удовлетворяют линейному уравнению (1.9).

Теорема 2. Как бы мало ни было положительное число ε , всегда найдется такое N , что для всех $n \geq N$ и всех точек M отрезка EF будет иметь место неравенство $0 < \theta_0 - \theta_n(M) \leq \varepsilon$, если только прямая EF достаточно близка к AC .

Доказательство. Из теоремы 1 имеем: $\theta_n(M) < \theta_n^{(0)}$ при $n \geq N$ для всех M на EF . Следовательно, характеристика в точке M должна быть параллельна AB . Двигаясь по ней к точке A , мы должны достичь точки M_1 , где $\theta_n(M_1) = \theta_n^{(0)}$. Тогда получим

$$\theta_n(M) = \theta_n^{(0)} + \int_{\alpha(M_1)}^{\alpha(M)} \frac{\partial \theta_n}{\partial x} dx \geq \theta_n^{(0)} + k[r(M) - r(M_1)] \geq \theta_n^{(0)} + kAE$$

Но $\theta_n^{(0)} = \theta_0 - \varepsilon_n'$, поэтому $\theta_0 - \theta_n(M) \leq \varepsilon_n' - kAE$, что и доказывает теорему, так как ε_n' и AE могут быть сколь угодно малыми, если n достаточно велико и прямая EF достаточно близка к AC .

Следствие. При условиях теоремы 2 неравенство $|\theta_0 - \theta_n(P)| \leq \varepsilon$ имеет место во всей замкнутой области $AEFC$, если определить $\theta_n(P)$ на отрезке AC через ее предельные значения изнутри области.

Легко видеть, что предельные значения для функций $\theta_n(P)$ на отрезке AC равны $\theta_n^{(1)}$. Если M — точка пересечения характеристики, проходящей через точку P с прямой EF , то в силу доказанного ранее $\theta_n^{(1)} > \theta_n(P) > \theta_n(M) > \theta_0 - \varepsilon$; отсюда вытекает наше следствие.

После этого можно установить сходимость в среднем последовательности функций $u_n(r, t)$ в треугольнике ABC . Пусть $u_0(r, t)$ есть решение уравнения (1.9) в треугольнике ABC при условиях

$$u_0(r, t) = 0 \quad \text{на } AB, \quad \frac{u_0(r, t)}{r} - \frac{\partial u_0(r, t)}{\partial r} = \theta_0 \quad \text{на } AC$$

Это решение единственno. Рассмотрим разность

$$w_n(r, t) = u_0(r, t) - u_n(r, t)$$

Функция $w_n(r, t)$ обращается в нуль на AB . Составим выражение

$$\frac{w_n(r, t)}{r} - \frac{\partial w_n(r, t)}{\partial r} = \varepsilon_n(r, t)$$

В силу непрерывности $u_0(r, t)$ вместе с $\partial u_0(r, t) / \partial r$ в замкнутой области ABC и следствия из теоремы 2 можно утверждать, что $\max |\varepsilon_n(r, t)|$ может быть сколь угодно мал в замкнутой области $AEFC$, если только n достаточно велико и прямая EF достаточно близка к AC .

Далее, из малости $\varepsilon_n(r, t)$ на отрезке EF , следствия из теоремы 1 и обращения $w_n(r, t)$ в нуль на EB следует малость в среднем функции $\varepsilon_n(r, t)$ и ее производных в треугольнике EBF (корректность линейной задачи), т. е.

$$\iint_{(\Delta EBF)} \left[\dot{w}_n^2 + \left(\frac{\partial w_n}{\partial r} \right)^2 + \left(\frac{\partial w_n}{\partial t} \right)^2 \right] dr dt \rightarrow 0 \quad \text{при } n \rightarrow \infty$$

В этом легко убедиться, производя обычные оценки с помощью «интеграла энергии» для уравнения (1.9), которому удовлетворяет $w_n(r, t)$. Отсюда вытекает малость в среднем $\varepsilon_n(r, t)$ во всем треугольнике ABC .

а тогда, опять воспользовавшись обращением $w_n(r, t)$ в нуль на прямой AB , можно показать сходимость в среднем последовательности функций $u_n(r, t)$ к $u_0(r, t)$ во всем треугольнике ABC . Таким образом, доказано, что в ABC решение задачи дается функцией $u_0(r, t)$.

5. Построение решения. Построим решение $u_0(r, t)$ для области упругих деформаций G_0 (фиг. 6) в окрестности особой точки. Согласно

предыдущему в области G_0 нужно найти решение уравнения

$$\frac{\partial^2 u_0}{\partial r^2} + \frac{2}{r} \frac{\partial u_0}{\partial r} - \frac{2u_0}{r^2} = \frac{1}{a_0^2} \frac{\partial^2 u_0}{\partial t^2} \quad (5.1)$$

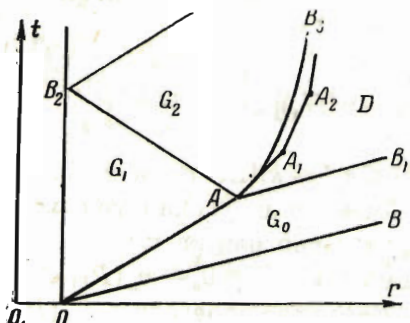
при условиях:

$$\text{на прямой } r - 1 = a_0 t \quad (5.2)$$

$$u_0(r, t) = 0 \quad (5.2)$$

$$\text{на прямой } r - 1 = a_1 t \quad (5.3)$$

$$\frac{u_0(r, t)}{r} - \frac{\partial u_0(r, t)}{\partial r} = \theta_0 \quad (5.3)$$



Фиг. 6

где a_0 и a_1 имеют значения (4.4).

Уравнение (5.1) и условие (5.2) тождественно удовлетворяются, если положить

$$u_0(r, t) = \frac{\Psi'(r - a_0 t - 1)}{r} - \frac{\Psi(r - a_0 t - 1)}{r^2} \quad (5.4)$$

$$\Psi'(0) = \Psi(0) = 0 \quad (5.5)$$

Здесь и везде в дальнейшем штрихи обозначают дифференцирование по всему аргументу.

Остается удовлетворить условию (5.3). Пользуясь (5.4), получим

$$\frac{\Psi''(x)}{\lambda x + 1} - \frac{3\Psi'(x)}{(\lambda x + 1)^2} + \frac{3\Psi(x)}{(\lambda x + 1)^3} = -\theta_0 \quad \left(\lambda = \frac{a_1}{a_1 - a_0} < 0 \right) \quad (5.6)$$

Решение уравнения (5.6) ищем в виде

$$\Psi(x) = -\frac{\theta_0 (\lambda x + 1)^3}{(\lambda - 1)(6\lambda - 3)} + C(\lambda x + 1)^\alpha$$

Для определения α получаем квадратное уравнение

$$\alpha^2 \lambda^2 - \alpha(\lambda^2 + 3\lambda) + 3 = 0 \quad (5.7)$$

Корни будут комплексными при условии $(\lambda + 3)^2 - 12 < 0$, или, учитывая отрицательность λ , при $\lambda > -2\sqrt{3} - 3$, или согласно (5.6), когда $a_0^2/a_1^2 > 4/3$. Введем обозначения

$$\mu = \frac{\lambda + 3}{2\lambda}, \quad v = \frac{-\sqrt{12 - (\lambda + 3)^2}}{2\lambda}$$

Все дальнейшие результаты пригодны как для v вещественного, так и для v чисто мнимого. Нужно только иметь в виду, что в последнем случае следует перейти от функций мнимого аргумента к функциям вещественного аргумента. После определения произвольных

постоянных из условия (5.5) решение уравнения (5.4) получим в виде

$$\Psi(x) = \frac{\theta_0}{(\lambda-1)(6\lambda-3)} \left\{ -(\lambda x + 1)^3 + (\lambda x + 1)^\mu \right\} \cos(v \log(\lambda x + 1)) + \\ + \frac{3-\mu}{v} \sin(v \log(\lambda x + 1)) \}$$

Тогда смещение $u_0(r, t)$ в области G_0 выразится формулой

$$u_0(r, t) = \frac{\theta_0}{(\lambda-1)(6\lambda-3)} \left\{ \frac{\lambda}{r} \left[-3\xi^2 + \xi^{\mu-1} \left(3 \cos(v \log \xi) + \right. \right. \right. \\ \left. \left. \left. + \frac{3\mu - v^2 - \mu^2}{v} \sin(v \log \xi) \right) \right] - \right. \\ \left. - \frac{1}{r^2} \left[-\xi^3 + \xi^\mu \left(\cos(v \log \xi) + \frac{3-\mu}{v} \sin(v \log \xi) \right) \right] \right\} \quad (5.8)$$

Здесь

$$\xi = \lambda x + 1, \quad x = r - a_0 t - 1$$

Для того чтобы продолжить решение в пластическую область G_1 (фиг. 6), необходимо знать значение $u_0(r, t)$ на прямой $r - 1 = a_1 t$, которая вблизи особой точки является границей между областями G_0 и G_1 . При $r - 1 = a_1 t$ имеем $\lambda x + 1 = r$ и

$$g(r) \equiv u_0 \left(r, \frac{r-1}{a_1} \right) = \left(\sigma = \frac{-3\lambda^2 - 4\lambda + 3}{2v\lambda} \right) \quad (5.9)$$

$$= \frac{\theta_0}{(\lambda-1)(6\lambda-3)} \left\{ (-3\lambda + 1)r + r^{\mu-2} [(3\lambda - 1) \cos(v \log r) - \sigma \sin(v \log r)] \right\}$$

Перейдем к определению $u(r, t)$ в области G_1 . Из (1.7) и (4.1) имеем

$$\frac{\partial^2 u}{\partial r^2} + \frac{2}{r} \frac{\partial u}{\partial r} - \frac{2u}{r^2} - \frac{3(a_0^2 - a_1^2)\theta_0}{a_1^2 r} = \frac{1}{a_1^2} \frac{\partial^2 u}{\partial t^2} \quad (5.10)$$

Из (1.5) следует

$$\sigma_r = \rho a_1^2 \frac{\partial u}{\partial r} + \frac{u}{r} (3K - \rho a_1^2) - \rho \theta_0 (a_0^2 - a_1^2)$$

На поверхности полости $r = 1$ задано давление $p(t)$. Чтобы найти $u(r, t)$, к уравнению (5.10) необходимо присоединить условия

$$\rho a_1^2 \frac{\partial u}{\partial r} + (3K - \rho a_1^2) u - \rho \theta_0 (a_0^2 - a_1^2) = p(t) \quad \text{при} \quad r = 1$$

$$u(r, t) = g(r) \quad \text{при} \quad r - 1 = a_1 t$$

Последнее условие есть условие непрерывности смещений на прямой $r - 1 = a_1 t$. Положим

$$u(r, t) = u_1(r, t) - hr \log r \quad \left(h = -\frac{a_0^2 - a_1^2}{a_1^2} \theta_0 \right)$$

где $u_1(r, t)$ — новая искомая функция. Для ее определения имеем

$$\frac{\partial^2 u_1}{\partial r^2} + \frac{2}{r} \frac{\partial u_1}{\partial r} - \frac{2u_1}{r^2} = \frac{1}{a_1^2} \frac{\partial^2 u_1}{\partial t^2} \quad (5.11)$$

При этом

$$u_1(r, t) = g(r) + hr \log r \quad \text{при} \quad r - 1 = a_1 t \quad (5.12)$$

$$\rho a_1^2 \frac{\partial u_1}{\partial r} + u_1 (3K - \rho a_1^2) = p(t) \quad \text{при} \quad r = 1 \quad (5.13)$$

Решение $u_1(r, t)$ ищем в виде

$$u_1(r, t) = \frac{\partial}{\partial r} \left\{ \frac{\Phi_1(r + a_1 t - 1) + \Psi_1(r - a_1 t - 1)}{r} \right\}$$

Уравнение (5.11) при этом удовлетворяется тождественно. Подставляя $u_1(r, t)$ в (5.12), получим

$$\frac{\Phi_1'(2r-2) + \Psi_1'(0)}{r} - \frac{\Phi_1(2r-2) + \Psi_1(0)}{r^2} = g(r) + hr \log(r)$$

Решая это уравнение при условии $\Phi_1(0) = \Psi_1(0) = \Psi_1'(0) = 0$, найдем

$$\Phi_1(x) = \frac{(x+2)^2}{2} \int_0^x \frac{g_1(\tau) d\tau}{\tau+2}$$

где

$$g_1(x) = g\left(\frac{x}{2} + 1\right) + h\left(\frac{x}{2} + 1\right) \log\left(\frac{x}{2} + 1\right) \quad (5.14)$$

Для определения $\Psi_1(x)$ воспользуемся условием (5.13). Это дает

$$\Psi_1''(x) - \kappa\Psi_1'(x) + \kappa\Psi_1(x) = p_1(x) - \left[\frac{d^2\Phi_1(-x)}{dx^2} + \kappa \frac{d\Phi_1(-x)}{dx} + \kappa\Phi_1(-x) \right] \quad (5.15)$$

$$\kappa = 3\left(1 - \frac{K}{\rho a_1^2}\right) = \frac{4G_p}{\rho a_1^2}, \quad p_1(x) = \frac{1}{\rho a_1^2} p\left(-\frac{x}{a_1}\right)$$

Решение уравнения (5.15) имеет вид

$$\begin{aligned} \Psi_1(x) = & -\Phi_1(-x) + \frac{1}{\gamma} \int_0^x \left\{ [p_1(\tau) - \kappa^2\Phi_1(-\tau)] \sin \gamma(x-\tau) - \right. \\ & \left. - 2\kappa\gamma\Phi_1(-\tau) \cos \gamma(x-\tau) \right\} \exp \frac{\kappa(x-\tau)}{2} d\tau \end{aligned} \quad (5.16)$$

где $\gamma = \sqrt{\frac{1}{2}V_{4\kappa} - \kappa^2}$ есть вещественное число, так как $0 \leq \kappa < 3$.

Таким образом, функция $u(r, t)$ найдена:

$$\begin{aligned} u(r, t) = & \frac{\partial}{\partial r} \left\{ \frac{1}{r\gamma} \int_0^x \left[-\kappa\gamma(-\tau+2)^2 \cos \gamma(x-\tau) \int_0^{-\tau} \frac{g_1(\sigma) d\sigma}{\sigma+2} + \right. \right. \\ & \left. \left. + \sin \gamma(x-\tau) \left[p_1(\tau) - \frac{\kappa^2(-\tau+2)^2}{2} \int_0^{-\tau} \frac{g_1(\sigma) d\sigma}{\sigma+2} \right] \right] \exp \frac{\kappa(x-\tau)}{2} d\tau - \right. \\ & \left. - \frac{(-x+2)^2}{4r} \int_0^{-x} \frac{g_1(\sigma) d\sigma}{\sigma+2} + \frac{(y+2)^2}{2r} \int_0^y \frac{g_1(\sigma) d\sigma}{\sigma+2} \right\} - hr \log r \end{aligned} \quad (5.17)$$

Здесь $x = r - a_1 t - 1$, $y = r + a_1 t - 1$. Для того чтобы определить область G_1 , для которой выведена формула (5.17), необходимо потребовать, чтобы на прямой $r - 1 = a_1 t$ выполнялось неравенство

$$\frac{u}{r} - \frac{\partial u}{\partial r} \geq \theta_0 \quad (5.18)$$

В противном случае продолжать решение (5.8) через прямую $r - 1 = a_1 t$ нельзя. Решив неравенство (5.18) и определив точку A (фиг. 6), мы определим и область, которая ограничена прямыми $r - 1 = a_1 t$ и характеристикой отрицательного направления, исходящей из A . Для решения неравенства (5.18) воспользуемся (5.17).

После некоторых преобразований получим

$$\frac{1}{r} \left[\int_0^{r-2} \frac{g_1(x) dx}{x+2} - \frac{3}{2} g_1(2r-2) + rg_1'(2r-2) + p_1(0) - g_1'(0) \right] - h \geq 0_0$$

Возьмем для функции $g_1(x)$ выражение (5.14). Тогда для определения абсциссы точки A (обозначим ее через r_{\max}) получим уравнение

$$\varphi(r, \lambda) \equiv b_0 + b_1 r + r^{\mu-2} [b_2 \cos(\nu \log r) + b_3 \sin(\nu \log r)] = \frac{p(0)}{p_s} \quad (5.19)$$

Здесь p_s — критическое давление, соответствующее пределу упругости, коэффициенты b_0, b_1, b_2, b_3 выражаются через λ :

$$\begin{aligned} b_0 &= \frac{10\lambda^3 - 22\lambda^2 + 15\lambda - 3}{2(\lambda-1)^2(2\lambda^2 - 6\lambda + 3)}, & b_1 &= \frac{2\lambda^2 - 6\lambda + 3}{2(\lambda-1)^2}, \\ b_2 &= \frac{-(6\lambda^2 - 8\lambda + 3)\lambda}{2(\lambda-1)^2(2\lambda^2 - 6\lambda + 3)}, & b_3 &= \frac{-(6\lambda^3 + 2\lambda^2 - 9\lambda + 3)}{4\nu(2\lambda^2 - 6\lambda + 3)(\lambda-1)^2}. \end{aligned}$$

Можно проверить, что $r = 1$ есть корень уравнения (5.19) при $p(0) = p_s$. Для $p(0)/p_s < 1$ предлагаемый метод непригоден, так как граница $r - 1 = a_1 t$ не будет линией сильного разрыва. Для вещественных корней уравнения (5.7) уравнение (5.19) будет

$$b_0 + b_1 r + \frac{b_2 + b_3}{2} r^{\mu+\nu_i-2} + \frac{b_2 - b_3}{2} r^{\mu-\nu_i-2} = \frac{p(0)}{p_s} \quad (\nu_i = -\frac{\sqrt{(\lambda+3)^2 - 12}}{2\lambda}) \quad (5.20)$$

Решим уравнение (5.19) и определим зону распространения скачка пластических деформаций для одного конкретного случая. Известно, что для большинства металлов коэффициент Пуассона σ лежит между 0.25 и 0.35. Для случая идеальной пластиичности имеем

$$G_p = 0, \quad \frac{a_0}{a_1} = \sqrt{1 + \frac{2(1-2\sigma)}{1+\sigma}}$$

Следовательно, ν есть мнимое число при $\sigma > \frac{5}{13} \approx 0.385$.

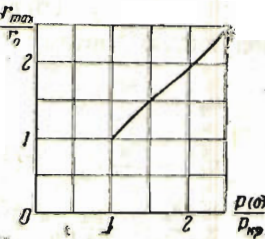
Приводим результаты вычислений для $\sigma = 0.25$ и $\sigma = 0.35$:

σ	$\frac{a_0}{a_1}$	λ	b_0	b_1	b_2	b_3	μ	ν
0.35	1.20	-5	-0.314	1.15	0.161	0.191	0.21	0.282
0.25	1.34	-2.94	-0.420	1.22	0.198	0.08	0.01	0.590

Подстановка этих значений в (5.19) для $\sigma = 0.25$ дает

$$r = \begin{matrix} 1 & 1.1 & 1.2 & 1.3 & 1.4 & 1.5 & 1.6 & 1.7 & 1.8 & 1.9 & 2.0 \end{matrix}$$

$$\varphi(r, 0.5) = \begin{matrix} 1 & 1.09 & 1.18 & 1.29 & 1.40 & 1.50 & 1.61 & 1.72 & 1.85 & 1.96 & 2.07 \end{matrix}$$



Фиг. 7

График, построенный на фиг. 7 по этим значениям r и φ , показывает, что для практически интересного интервала отношения $p(0)/p_s$ левая часть (5.19) мало отличается от линейной функции, так что $p(0)/p_s \approx r_{\max}/r_0$, где r_0 — радиус полости. Изменение величины σ мало сказывается на функции $\varphi(r; \lambda)$ при $r \geq 1$.

Перейдем к определению решения задачи в областях G_2 и D , граница между которыми неизвестна.

Решение для этих областей в конечном виде найти не удается. Мы будем пользоваться некоторым процессом последовательных приближений, сущность которого в том, что криволинейная граница между G_2 и D будет заменяться некоторой полигональной кривой.

Из условия исчезновения скачка первых производных в точке A и на всей границе AB_3 , а также из условия сопряжений смещений на границе упругой и пластической зоны следует

$$u_1 = u_2, \quad \frac{u_1}{r} - \frac{\partial u_1}{\partial r} = \frac{u_2}{r} - \frac{\partial u_2}{\partial r} = \theta_0$$

Здесь $u_1(r, t)$ — решение уравнения (5.1) в области D , а $u_2(r, t)$ — решение уравнения (5.10) в области G_2 . Образуем внутренние производные $u_1'' = d^2u_1/dt^2$ на прямой AB_1 и $u_2'' = d^2u_2/dt^2$ на прямой AB_2 , а также выражения

$$\frac{d}{dt} \left(\frac{u_1}{r} - \frac{\partial u_1}{\partial r} \right), \quad \frac{d}{dt} \left(\frac{u_2}{r} - \frac{\partial u_2}{\partial r} \right)$$

на кривой AB_3 . Тогда получим, принимая во внимание (5.1) и (5.10), следующую систему уравнений:

$$\begin{aligned} u_1'' &= \frac{\partial^2 u_1}{\partial r^2} a_0^2 + 2 \frac{\partial^2 u_1}{\partial r \partial t} a_0 + \frac{\partial^2 u_1}{\partial t^2}, & \frac{d}{dt} \left(\frac{u_1}{r} \right) &= \frac{\partial^2 u_1}{\partial r^2} \frac{dr}{dt} + \frac{\partial^2 u_1}{\partial r \partial t} \\ u_2'' &= \frac{\partial^2 u_2}{\partial r^2} a_1^2 - 2 \frac{\partial^2 u_2}{\partial r \partial t} a_1 + \frac{\partial^2 u_2}{\partial t^2}, & \frac{d}{dt} \left(\frac{u_2}{r} \right) &= \frac{\partial^2 u_2}{\partial r^2} \frac{dr}{dt} + \frac{\partial^2 u_2}{\partial r \partial t} \\ \frac{2a_0^2 \theta_0}{r} &= \frac{\partial^2 u_1}{\partial r^2} a_0^2 - \frac{\partial^2 u_1}{\partial t^2}, & \left(1 - \frac{3}{2} h \right) \frac{2a_1^2 \theta_0}{r} &= \frac{\partial^2 u_2}{\partial r^2} a_1^2 - \frac{\partial^2 u_2}{\partial t^2} \end{aligned} \quad (5.21)$$

Здесь $u_0(t)$ — значение функций $u_1(r, t)$ и $u_2(r, t)$ на AB_3 .

Выразим d^2u_0/dt^2 через вторые производные в области D и в области G_2 , а затем приравняем эти выражения. Таким образом получим

$$\frac{\partial^2 u_1}{\partial r^2} \left(\frac{dr}{dt} \right)^2 + 2 \frac{\partial^2 u_1}{\partial r \partial t} \frac{dr}{dt} + \frac{\partial^2 u_1}{\partial t^2} = \frac{\partial^2 u_2}{\partial r^2} \left(\frac{dr}{dt} \right)^2 + 2 \frac{\partial^2 u_2}{\partial r \partial t} \frac{dr}{dt} + \frac{\partial^2 u_2}{\partial t^2} \quad (5.22)$$

Из системы уравнений (5.21) и (5.22) определим dr/dt . Имеем

$$\frac{dr}{dt} = \frac{a_0 a_1 [ru_2'' - ru_1'' + 2(a_0 + a_1) \partial u / \partial t - (a_0^2 - a_1^2) \theta_0]}{a_1 r u_1'' + a_0 r u_2'' + a_0 (a_0 + a_1) (3a_0 + a_1) \theta_0} \quad (5.23)$$

Здесь $\partial u / \partial t = \partial u_1 / \partial t = \partial u_2 / \partial t$ — частная производная на AB_3 .

В точке A все входящие в правую часть (5.23) величины известны, так как $\partial u / \partial t$, u_1'' , u_2'' могут быть найдены из (5.8) и (5.17). Следовательно, будет определено направление касательной к искомой кривой в точке A .

Заменяя дугу кривой AB_3 отрезком AA_1 (фиг. 6), мы найдем $u_1(r, t)$ и $u_2(r, t)$ в области влияния этого отрезка слева и справа. Для этого нужно будет решить два обыкновенных дифференциальных уравнения вида (5.6) для $\Phi_2(x)$ и $\Psi(x)$, функция $\Psi_2(x)$ для G_2 совпадает с $\Psi_1(x)$ для G_1 . Тогда, пользуясь (5.23), можно будет определить dr/dt в точке A_1 , а затем в точке A_2 и т. д.

Этот процесс следует продолжать до тех пор, пока $dr/dt \geq 0$. При $dr/dt = 0$ наступает стадия разгрузки, для которой уравнение (5.10) не имеет места. Значение r , для которого $dr/dt = 0$, определяет границу распространения пластической волны.

Изложенный метод применим для нахождения приближенного решения задачи в случае $p(0) \geq p_s$, т. е. при отсутствии сильного разрыва.

6. Случай разгрузки. При разгрузке принимается, что деформации и напряжения связаны между собой линейной зависимостью, изображенной на фиг. 1 прямой BC , что аналитически можно выразить так:

$$f(\theta) = a_0^2 \theta + (a_1^2 - a_0^2)(\theta_1 - \theta_0) \quad (6.1)$$

Здесь $\theta_1(r)$ — значение $\theta(r, t)$ в момент начала разгрузки, т. е. абсцисса точки B на фиг. 1.

Напряжение σ , получим из (1.6) и (6.1). Обозначив $(a_1^2 - a_0^2)/a_0^2 = h_0$, имеем

$$\sigma_r = \rho a_0^2 \left[\frac{\partial u}{\partial r} + \left(\frac{3K}{\rho a_0^2} - 1 \right) \frac{u}{r} + h_0 (\theta_0 - \theta_1) \right] \quad (6.2)$$

Уравнение (1.3) в этом случае имеет вид

$$\frac{\partial^2 u}{\partial r^2} + \frac{2}{r} \frac{\partial u}{\partial r} - \frac{2u}{r^2} = \frac{1}{a_0^2} \frac{\partial^2 u}{\partial t^2} + h_0 \left[\frac{d\theta_1}{dr} + \frac{3(\theta_1 - \theta_0)}{r} \right]$$

Введем безразмерные функции

$$u^* = \frac{u}{\theta_0}, \quad \theta^* = \frac{\theta}{\theta_0}, \quad \theta_1^* = \frac{\theta_1}{\theta_0}$$

и координаты $r = r$, $\tau = a_0 t$. Тогда уравнение (6.3) примет вид

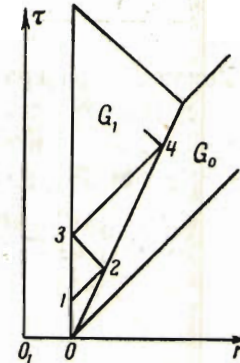
$$\frac{\partial^2 u^*}{\partial r^2} + \frac{2}{r} \frac{\partial u^*}{\partial r} - \frac{2u^*}{r^2} = \frac{\partial^2 u^*}{\partial \tau^2} + h_0 \left[\frac{d\theta_1^*}{dr} + \frac{3(\theta_1^* - 1)}{r} \right] \quad (6.4)$$

Мы будем рассматривать простейший случай разгрузки, соответствующий монотонной разгрузке после мгновенного нагружения.

Как показано было выше, при сильном мгновенном нагружении, независимо от последующего способа приложения давления, образуется область упругих деформаций G_0 (фиг. 8), ограниченная прямыми $r - 1 = \tau$ и $r - 1 = a_1 \tau / a_0$. На последней прямой функция $\theta^*(r, \tau)$ со стороны области G_0 принимает значение $\theta^* = 1$.

Мы будем искать решение уравнения (6.4), для которого прямая $r - 1 = a_1 \tau / a_0$ является линией сильного разрыва. Прежде всего избавимся от неоднородности в уравнении (6.4), для этого введем функцию $v(r)$ и функцию $U(r, \tau)$, определяя их равенствами

$$\frac{dv}{dr} - \frac{v}{r} = h_0 (\theta_1^* - 1), \quad v(1) = 0; \quad u^*(r, \tau) = U(r, \tau) + v(r) \quad (6.5)$$



Фиг. 8

Тогда уравнение (6.4) перейдет в следующее:

$$\frac{\partial^2 U}{\partial r^2} + \frac{2}{r} \frac{\partial U}{\partial r} - \frac{2U}{r^2} = \frac{\partial^2 U}{\partial \tau^2} \quad (6.6)$$

На прямой разгрузки должны выполняться следующие условия:

1) условие непрерывности смещений

$$u^*(r, \tau) = \frac{u_0(r)}{\theta_0}$$

где $u_0(r)$ — значение смещения на прямой со стороны упругой стадии, определяемое формулой (5.9);

2) условие начала разгрузки, т. е.

$$\frac{u^*}{r} - \frac{\partial u^*}{\partial r} = \theta_1^*(r)$$

Переходя к функциям $U(r, \tau)$ и $v(r)$, получим

$$U(r, \tau) + v(r) = \frac{u_0(r)}{\theta_0} \quad (6.7)$$

$$\frac{U(r, \tau)}{r} - \frac{\partial U(r, \tau)}{\partial r} = 1 + \frac{a_1^2}{a_1^2 - a_0^2} \left(\frac{dv}{dr} - \frac{v}{r} \right) \quad \text{на } r = 1 = \frac{a_1}{a_0} \tau \quad (6.8)$$

Исключим из граничных условий неизвестную функцию $v(r)$. Для этого достаточно продифференцировать уравнение (6.7) вдоль прямой разгрузки, а затем из трех уравнений исключить v и dv/dr . Определив $u_0(r)$ и du_0/dr из (5.9), получим условие на линии разрыва:

$$\frac{\partial U}{\partial r} + \frac{a_1}{a_0} \frac{\partial U}{\partial \tau} - \frac{U}{r} = h_0 \left\{ 1 + ar^{\mu-3} [\cos(\nu \log r) + b \sin(\nu \log r)] \right\} \quad (6.9)$$

где

$$a = \frac{\lambda}{1 - 2\lambda}, \quad b = \frac{2\lambda^2 + \lambda - 1}{2\lambda\nu(2\lambda - 1)}$$

Второе условие мы получим, задавая давление на поверхности сферической полости $r = 1$:

$$\frac{\partial U}{\partial r} + \left(\frac{3K}{\rho a_0^2} - 1 \right) U = \frac{P(\tau/a_0)}{\rho a_0^2 \theta_0} \quad (6.10)$$

Перейдем к построению решения задачи (6.6), (6.9), (6.10). Если удалось каким-либо методом определить решение задачи в какой-нибудь сколь угодно малой окрестности точки 0 в области G_1 (фиг. 8), то можно показать, что решение в остальной части области G_1 находится в квадратурах.

Предварительно сделаем несколько замечаний. Легко показать, что всякое решение уравнения (6.6) представимо в следующем виде:

$$U(r, \tau) = \frac{\Phi'(r + \tau - 1) + \Psi'(r - \tau - 1)}{r} - \frac{\Phi(r + \tau - 1) + \Psi(r - \tau - 1)}{r^2} \quad (6.11)$$

и обратно, для любой пары трижды дифференцируемых функций Φ и Ψ выражение (6.10) представляет собой решение уравнения (6.6).

Докажем, что функции Φ и Ψ определяются не единственным образом, а именно в начальной точке можно трем величинам из четырех Φ' , Ψ' , Φ , Ψ задавать произвольные значения.

В самом деле, пусть $U(r, \tau)$ решение уравнения (6.6). Проведем через точку M_0 в области решения две характеристики $r + \tau = r_0 + \tau_0$ и $r - \tau = r_0 - \tau_0$. Обозначим через $U_1(r)$ и $U_2(r)$ значения $U(r, \tau)$ на соответствующих характеристиках. На характеристиках должны удовлетворяться следующие обыкновенные дифференциальные уравнения:

на $r + \tau = r_0 + \tau_0$

$$\frac{\Phi'(r_0 + \tau_0 - 1) + \Psi'[2r - (r_0 + \tau_0 + 1)]}{r} - \frac{\Phi(r + \tau_0 - 1) + \Psi[2r - (r_0 + \tau_0 + 1)]}{r^2} = U_2(r)$$

на $r - \tau = r_0 - \tau_0$

$$\frac{\Phi'[2r - (r_0 - \tau_0 - 1)] + \Psi'(r_0 - \tau_0 - 1)}{r} - \frac{\Phi[2r - (r_0 - \tau_0 - 1)] + \Psi(r_0 - \tau_0 - 1)}{r^2} = U_1(r)$$

Начальные условия должны удовлетворять, следовательно, двум уравнениям:

$$\frac{\Phi'(M_0) + \Psi'(M_0)}{r} - \frac{\Phi(M_0) + \Psi(M_0)}{r^2} = U_1(r_0)$$

$$\frac{\Phi'(M_0) + \Psi''(M_0)}{r} - \frac{\Phi(M_0) + \Psi(M_0)}{r^2} = U_2(r_0)$$

Но $U_1(r_0) = U_2(r_0)$, следовательно, из этих четырех величин три могут быть заданы произвольно. В силу единственности решения задачи Коши для уравнения (6.6) в окрестности точки M_0 решение (6.1) не зависит от выбора этих начальных значений, которые принимаем равными нулю. Будем предполагать, что функция $p(t)$ настолько гладкая, насколько это потребуется для существования решения задачи. Заметим также, что правая часть уравнения (6.9) есть аналитическая функция от r в рассматриваемой области.

Перейдем к построению решения. Область G_1 характеристиками 12, 23, 34 и т. д. разделится на ряд треугольников. Достаточно построить решение задачи в треугольниках 123 и 234, — в следующих треугольниках решение построится аналогично. Пусть $U_1(r)$ значение функции $U(r, \tau)$ на прямой 12.

1°. Решение для треугольника 123 ищем в виде (6.11). Тогда на прямых 12 и 13 имеем соответственно

$$\frac{\Phi'[2(r-1) + \tau_1]}{r} - \frac{\Phi[2(r-1) + \tau_1]}{r^2} = U_1(r)$$

$$\Phi(\tau_1) = 0 \quad (6.12)$$

$$\Phi''(\tau) + \Psi''(-\tau) - x_1 [\Phi'(\tau) + \Psi'(-\tau)] + x_1 [\Phi(\tau) + \Psi(-\tau)] = p_1(\tau)$$

$$\Psi'_1(-\tau_1) = \Psi_1(-\tau_1) = 0 \quad (6.13)$$

Здесь

$$x_1 = 3 \left(1 - \frac{K}{\rho a_0^2} \right), \quad p_1(\tau) = \frac{p(-\tau/a_0)}{\rho a_0^2 \theta_0}$$

Решение обыкновенных дифференциальных уравнений (6.12), (6.13) в треугольнике 123 существует, будет единственным и имеет вид

$$\Phi(x) = \left(\frac{x-\tau_1}{2} + 1\right)^2 \int_{\tau_1}^x \frac{U_1 [1/2(x-\tau_1) + 1]}{1/2(x-\tau_1) + 1} dx$$

$$\Psi(x) = -\Phi(-x) + \frac{U_1(1)}{\gamma_1} \exp \frac{\kappa_1(x+\tau_1)}{2} \sin \gamma_1(x+\tau_1) + \frac{1}{\gamma_1} \int_{-\tau_1}^x \{[p_1(\tau) - \kappa_1^2 \Phi(-\tau)] \sin \gamma_1(x-\tau) - 2\kappa_1 \gamma_1 \Phi(-\tau) \cos \gamma_1(x-\tau)\} \exp \frac{\kappa_1(x-\tau)}{2} d\tau$$

Следовательно, решение уравнения (6.6) в треугольнике 123 согласно (6.11) имеет вид

$$U(r, \tau) = \frac{\partial}{\partial r} \left\{ \frac{1}{r} \left[\Phi(x) - \Phi(-y) - \frac{U_1(1)}{\gamma_1} \exp \frac{\kappa_1(y+\tau_1)}{2} \sin \gamma_1(y+\tau_1) + \frac{1}{\gamma_1} \int_{-\tau_1}^y \{[p_1(\tau) - \kappa_1^2 \Phi \sin \gamma_1(y-\tau) - 2\kappa_1 \gamma_1 \Phi \cos \gamma_1(y-\tau)] \exp \frac{\kappa_1(y-\tau)}{2} d\tau\} \right] \right\}$$

где под знаком интеграла $\Phi = \Phi(-\tau)$ и

$$x = r + \tau - 1, \quad y = r - \tau - 1, \quad \gamma_1 = \frac{1}{2} \sqrt{4\kappa_1 - \kappa_1^2}$$

В силу единственности решения уравнений (6.12), (6.13) и сказанного выше о представимости решений уравнения (6.6) в виде (6.11) решение (6.14) в треугольнике 123 единственно.

2º. Продолжим найденное решение в треугольник 234. На прямой 23 функция U известна из (6.14); обозначим ее на этой прямой через $U_2(r)$. Тогда, полагая

$$\Psi(r_2 - \tau_2 - 1) = \Phi(r_2 + \tau_2 - 1) = \Phi'(r_2 + \tau_2 - 1) = 0$$

получим для определения функции Ψ уравнение

$$\frac{\Psi[2(r-1) - (r_2 + \tau_2 - 1)]}{r} - \frac{\Psi[2(r-1) - (r_2 + \tau_2 - 1)]}{r^2} = U_2(r) \quad (6.15)$$

Решение этого уравнения имеет вид

$$\Psi(x) = \left[\frac{x + (r_2 + \tau_2 - 1)}{2} + 1 \right]^2 \int_{r_2 - \tau_2 - 1}^x \frac{U_2 [1/2(x + r_2 + \tau_2 - 1) + 1]}{1/2(x + r_2 + \tau_2 - 1) + 1} dx$$

Если теперь воспользоваться условием (6.9), то на отрезке 24 мы должны удовлетворить следующее дифференциальное уравнение:

$$\begin{aligned} & \frac{1}{r} \left[\left(1 + \frac{a_1}{a_0}\right) \Phi''(x) + \left(1 - \frac{a_1}{a_0}\right) \Psi''(y) \right] - \\ & - \frac{1}{r^2} \left[\left(3 + \frac{a_1}{a_0}\right) \Phi'(x) + \left(3 - \frac{a_1}{a_0}\right) \Psi'(y) \right] + \frac{3}{r^3} [\Phi(x) + \Psi(y)] = f(r) \end{aligned}$$

Здесь функция $f(r)$ есть правая часть уравнения (6.9) и

$$x = (r - 1) \left(1 + \frac{a_0}{a_1} \right), \quad y = (r - 1) \left(1 - \frac{a_0}{a_1} \right)$$

Введем две функции:

$$\Phi_1(r) = \Phi \left[(r - 1) \left(1 + \frac{a_0}{a_1} \right) \right], \quad \Psi_1(r) = \Psi \left[(r - 1) \left(1 - \frac{a_0}{a_1} \right) \right]$$

Тогда уравнение примет вид

$$r^2 \Phi_1''(r) - \left(1 + 3 \frac{a_0}{a_1} \right) r \Phi_1'(r) + 3 \frac{a_0}{a_1} \left(1 + \frac{a_0}{a_1} \right) \Phi_1(r) = \quad (6.16)$$

$$= \left(1 + \frac{a_0}{a_1} \right) \left[\frac{a_0}{a_1} r^3 f(r) + \frac{r^2}{1 - a_0/a_1} \Psi_1''(r) + r \frac{3a_0/a_1 - 1}{1 - a_0/a_1} \Psi_1'(r) - 3 \frac{a_0}{a_1} \Psi_1(r) \right]$$

Если правую часть обозначить через $F(r)$, то решение этого уравнения имеет вид

$$\Phi_1(r) = \frac{1}{\nu} \int_{r_2}^r \left(\frac{r}{z} \right)^\varepsilon \frac{1}{z} \sin \left(\nu \log \frac{r}{z} \right) F(z) dz$$

где

$$\nu = \frac{1}{2} \sqrt{3 \left(\frac{a_0}{a_1} \right)^2 - 4}, \quad \varepsilon = \frac{1}{2} \left(3 \frac{a_0}{a_1} + 2 \right)$$

После интегрирования по частям решение можно представить в виде

$$\begin{aligned} \Phi_1(r) = & \frac{1 + a_0/a_1}{1 - a_0/a_1} \Psi_1(r) - \frac{1}{\nu} \left(1 + \frac{a_0}{a_1} \right) r_2^2 U_2(r_2) \left(\frac{r}{r_2} \right)^\varepsilon \sin \left(\nu \log \frac{r}{r_2} \right) + \\ & + \frac{1}{\nu} \frac{a_0}{a_1} \left(1 + \frac{a_0}{a_1} \right) \int_{r_2}^r \left(\frac{r}{z} \right)^\varepsilon z^2 f(z) \sin \left(\nu \log \frac{r}{z} \right) dz + \quad (6.17) \\ & + \frac{1}{\nu} \frac{1 + a_0/a_1}{1 - a_0/a_1} \int_{r_2}^r \left(\frac{r}{z} \right)^\varepsilon \frac{\Psi_1(z)}{z} \left[9 \left(\frac{a_0}{a_1} \right)^2 \sin \left(\nu \log \frac{r}{z} \right) + 6 \frac{a_0}{a_1} \nu \cos \left(\nu \log \frac{r}{z} \right) \right] dz \end{aligned}$$

Таким образом, решение в треугольнике 234 найдено и имеет вид

$$U(r, \tau) = \frac{\partial}{\partial r} \left\{ \frac{1}{r} \left[\Phi_1 \left(\frac{x}{1 + a_0/a_1} + 1 \right) + \Psi_1(y) \right] \right\} \quad (6.18)$$

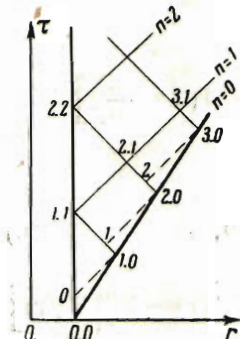
Здесь, как и выше,

$$x = r + \tau - 1, \quad y = r - \tau - 1$$

В силу единственности решения уравнений (6.15) и (6.16) при указанных выше условиях решение (6.18) в треугольнике 234 также единственно.

Ниже приводится решение уравнения (6.6) в треугольнике 012 с помощью численного метода интегрирования для случая линейной зависимости давления от времени $p_1(\tau) = a\tau + b$. Выбирая достаточно

малую окрестность точки 0, можно всегда ограничиться таким представлением функции $p_1(\tau)$. Находятся три решения уравнения (6.6) при следующих условиях:



Фиг. 9

$$1) \quad \frac{\partial U_1}{\partial r} + \frac{a_1}{a_0} \frac{\partial U_1}{\partial \tau} - \frac{U_1}{r} = f(r) \quad \text{на } r - 1 = \frac{a_1}{a_0} \tau$$

$$\frac{\partial U_1}{\partial r} + \left(\frac{3K}{\rho a_0^2} - 1 \right) U_1 = -1 \quad \text{на } r = 1$$

$$2) \quad \frac{\partial U_2}{\partial r} + \frac{a_1}{a_0} \frac{\partial U_2}{\partial \tau} - \frac{U_2}{r} = 0 \quad \text{на } r - 1 = \frac{a_1}{a_0} \tau$$

$$\frac{\partial U_2}{\partial r} + \left(\frac{3K}{\rho a_0^2} - 1 \right) U_2 = -1 \quad \text{на } r = 1$$

$$3) \quad \frac{\partial U_3}{\partial r} + \frac{a_1}{a_0} \frac{\partial U_3}{\partial \tau} - \frac{U_3}{r} = 0 \quad \text{на } r - 1 = \frac{a_1}{a_0} \tau$$

$$\frac{\partial U_3}{\partial r} + \left(\frac{3K}{\rho a_0^2} - 1 \right) U_3 = -1 \quad \text{на } r = 1$$

Очевидно, что для случая линейной зависимости $p_1(\tau) = a\tau + b$ решение найдется в виде

$$U = U_1 - (b + 1)U_2 - aU_3$$

При вычислениях материал считался идеально пластичным, причем было принято $\sigma = 0.25$ и $a_0/a_1 = 1.34$.

При этих данных выражение для функции $f(r)$ согласно (6.9) будет

$$f(r) = -0.445 \left\{ 1 - \frac{0.425}{r^{3.01}} [0.55 \sin(0.59 \log r) + \cos(0.59 \log r)] \right\}$$

Приводим значения функции $j(r)$ в интервале $1 \leq r \leq 2$:

$r =$	1	1.02	1.04	1.06	1.08	1.10	1.12	1.14
$-f(r) =$	0.256	0.266	0.275	0.284	0.292	0.299	0.306	0.312
$r =$	1.16	1.18	1.20	1.30	1.40	1.50	1.60	1.70
$-f(r) =$	0.318	0.324	0.330	0.353	0.370	0.383	0.393	0.402

Для интегрирования уравнения (6.6) мы пользовались уравнениями характеристик

$$dU_\tau = dU_r + 2 \left(\frac{U_r}{r} - \frac{U}{r^2} \right) d\tau, \quad d\tau = dr$$

$$dU_r = -dU_\tau + 2 \left(\frac{U_r}{r} - \frac{U}{r^2} \right) d\tau, \quad d\tau = -dr$$

Уравнения эти заменялись уравнениями в конечных разностях, которые решались методом сеток. В табл. 1, 2 и 3 приводятся значения функций U_1, U_2, U_3 , вычисленные в треугольнике 023 (фиг. 8), причем $r_2 = 1.2$ и $a_0/a_1 = 1.34$. При вычислениях принималось

$$r_{m,0} - r_{m-1,0} = 0.02 \quad \tau_{m,0} - \tau_{m-1,0} = 0.02 \frac{a_0}{a_1} = 0.0268$$

$$r_{m,n} - r_{m-1,n} = \tau_{m,n} - \tau_{m-1,n} = 0.01 \left(1 + \frac{a_0}{a_1} \right) = 0.0234 \quad (n \neq 0)$$

Построение сеток пояснено на фиг. 9. В точках 1, 2, 3, ... значения функции и ее производных U_r и U_τ интерполировались линейно

по значениям в соседних точках (1.0) и (4.1), (2.0) и (2.4) и т. д.

Заметим, что в качестве первого приближения вблизи точки $r = 1$, $\tau = 0$ для функции $U(r, \tau)$ можно пользоваться представлением

$$U(r, \tau) \approx \left(\frac{\partial U}{\partial r}\right)_0(r - 1) + \left(\frac{\partial U}{\partial \tau}\right)_0 \tau + \left(\frac{\partial^2 U}{\partial r^2}\right)_0 \frac{(r - 1)^2}{2} + \\ + \left(\frac{\partial^2 U}{\partial r \partial \tau}\right)_0 \tau(r - 1) + \frac{\tau^2}{2} \left(\frac{\partial^2 U}{\partial \tau^2}\right)_0$$

Эта формула была использована при вычислении значений функций U в точках (0.0), (1.0), (4.1). Постоянные

$$\left(\frac{\partial U}{\partial r}\right)_0, \quad \left(\frac{\partial U}{\partial \tau}\right)_0, \quad \left(\frac{\partial^2 U}{\partial r^2}\right)_0, \quad \left(\frac{\partial^2 U}{\partial r \partial \tau}\right)_0, \quad \left(\frac{\partial^2 U}{\partial \tau^2}\right)_0$$

Таблица 1
Значения функции $U_1(r, \tau)$

$m \backslash n$	0	1	2	3	4	5	6	7	8	9	10	
0	0	0.006	0.012	0.018	0.024	0.030	0.035	0.040	0.044	0.048	0.052	U_r
	1	0.985	0.970	0.955	0.941	0.926	0.914	0.902	0.889	0.877	0.864	$-U_r$
	1	0.976	0.991	0.927	0.902	0.878	0.857	0.836	0.815	0.796	0.778	U_τ
1	0.045	0.044	0.043	0.043	0.042	0.041	—	—	—	—	—	U
	1.031	1.010	0.988	0.966	0.944	0.923	—	—	—	—	—	$-U_r$
	0.979	0.952	0.928	0.904	0.880	0.857	—	—	—	—	—	U_τ
2	0.090	0.087	0.085	0.082	0.079	0.076	0.073	0.070	0.068	—	—	U
	1.060	1.036	1.012	0.989	0.975	0.951	0.928	0.905	0.882	—	—	$-U_r$
	0.956	0.931	0.907	0.882	0.858	0.837	0.816	0.796	0.777	—	—	U_τ
3	0.132	0.128	0.124	0.121	0.117	0.114	0.111	0.108	—	—	—	U
	1.089	1.062	1.036	1.011	0.987	0.963	0.940	0.917	—	—	—	$-U_r$
	0.933	0.907	0.882	0.859	0.837	0.815	0.794	0.773	—	—	—	U_τ
4	0.175	0.170	0.165	0.161	0.157	0.152	0.148	—	—	—	—	U
	1.116	1.086	1.048	1.021	0.969	0.973	0.952	—	—	—	—	$-U_r$
	0.905	0.880	0.856	0.833	0.810	0.788	0.765	—	—	—	—	U_τ
5	0.218	0.212	0.206	0.200	0.194	0.189	—	—	—	—	—	U
	1.145	1.112	1.080	1.048	1.019	0.989	—	—	—	—	—	$-U_r$
	0.877	0.851	0.825	0.801	0.780	0.758	—	—	—	—	—	U_τ
6	0.256	0.249	0.242	0.236	0.230	—	—	—	—	—	—	U
	1.170	1.162	1.153	1.145	1.087	—	—	—	—	—	—	$-U_r$
	0.849	0.824	0.800	0.775	1.745	—	—	—	—	—	—	U_τ
7	0.295	0.287	0.279	0.272	—	—	—	—	—	—	—	U
	1.196	1.159	1.122	1.085	—	—	—	—	—	—	—	$-U_r$
	0.821	0.795	0.770	0.745	—	—	—	—	—	—	—	U_τ
8	0.333	0.324	0.315	—	—	—	—	—	—	—	—	U
	1.221	1.180	1.140	—	—	—	—	—	—	—	—	$-U_r$
	0.792	0.755	0.740	—	—	—	—	—	—	—	—	U_τ
9	0.370	0.360	—	—	—	—	—	—	—	—	—	U
	1.245	1.204	—	—	—	—	—	—	—	—	—	$-U_\tau$
	0.762	0.735	—	—	—	—	—	—	—	—	—	U
10	0.406	—	—	—	—	—	—	—	—	—	—	U
	1.270	—	—	—	—	—	—	—	—	—	—	$-U_r$
	0.731	—	—	—	—	—	—	—	—	—	—	U_τ

легко находятся при последовательном определении в точке 0 производных первого и второго порядка из (6.6), (6.9) (6.10).

Укажем теперь, что для того, чтобы решение давало в окрестности точки 0 разгрузку, необходимо и достаточно выполнение условия $\partial \theta^*/\partial \tau < 0$ или $U_\tau/r - U_{r\tau} < 0$, что в свою очередь после несложных преобразований с использованием (6.9), (6.10) приводит к условию:

$$\left. \frac{dp_1}{d\tau} \right|_{\tau=0} > \frac{3K}{\rho a_0^2} \frac{a_0}{a_1} [f(1) - p_1(0)] \quad \left(f(1) = \frac{1}{\lambda-1} \right) \quad (6.19)$$

Конечно, предполагается, что $p(0) < p_s$ или $p_1(0) < -1$. После того как функция $U(r, \tau)$ построена, можно определить границу распространения волны разгрузки — r_{\max} . Условие исчезновения скачка де-

Таблица 2
Значения функции $U_2(r, \tau)$

$n \backslash m$	6	7	8	9	10	11	12	13	14	15	16	17	18	19	20	21	22	23	24	25	26	27	28	29	30	31	32	33	34	35	36	37	38	39	40	41	42	43	44	45	46	47	48	49	50	51	52	53	54	55	56	57	58	59	60	61	62	63	64	65	66	67	68	69	70	71	72	73	74	75	76	77	78	79	80	81	82	83	84	85	86	87	88	89	90	91	92	93	94	95	96	97	98	99	100	101	102	103	104	105	106	107	108	109	110	111	112	113	114	115	116	117	118	119	120	121	122	123	124	125	126	127	128	129	130	131	132	133	134	135	136	137	138	139	140	141	142	143	144	145	146	147	148	149	150	151	152	153	154	155	156	157	158	159	160	161	162	163	164	165	166	167	168	169	170	171	172	173	174	175	176	177	178	179	180	181	182	183	184	185	186	187	188	189	190	191	192	193	194	195	196	197	198	199	200	201	202	203	204	205	206	207	208	209	210	211	212	213	214	215	216	217	218	219	220	221	222	223	224	225	226	227	228	229	230	231	232	233	234	235	236	237	238	239	240	241	242	243	244	245	246	247	248	249	250	251	252	253	254	255	256	257	258	259	260	261	262	263	264	265	266	267	268	269	270	271	272	273	274	275	276	277	278	279	280	281	282	283	284	285	286	287	288	289	290	291	292	293	294	295	296	297	298	299	300	301	302	303	304	305	306	307	308	309	310	311	312	313	314	315	316	317	318	319	320	321	322	323	324	325	326	327	328	329	330	331	332	333	334	335	336	337	338	339	340	341	342	343	344	345	346	347	348	349	350	351	352	353	354	355	356	357	358	359	360	361	362	363	364	365	366	367	368	369	370	371	372	373	374	375	376	377	378	379	380	381	382	383	384	385	386	387	388	389	390	391	392	393	394	395	396	397	398	399	400	401	402	403	404	405	406	407	408	409	410	411	412	413	414	415	416	417	418	419	420	421	422	423	424	425	426	427	428	429	430	431	432	433	434	435	436	437	438	439	440	441	442	443	444	445	446	447	448	449	450	451	452	453	454	455	456	457	458	459	460	461	462	463	464	465	466	467	468	469	470	471	472	473	474	475	476	477	478	479	480	481	482	483	484	485	486	487	488	489	490	491	492	493	494	495	496	497	498	499	500	501	502	503	504	505	506	507	508	509	510	511	512	513	514	515	516	517	518	519	520	521	522	523	524	525	526	527	528	529	530	531	532	533	534	535	536	537	538	539	540	541	542	543	544	545	546	547	548	549	550	551	552	553	554	555	556	557	558	559	560	561	562	563	564	565	566	567	568	569	570	571	572	573	574	575	576	577	578	579	580	581	582	583	584	585	586	587	588	589	590	591	592	593	594	595	596	597	598	599	600	601	602	603	604	605	606	607	608	609	610	611	612	613	614	615	616	617	618	619	620	621	622	623	624	625	626	627	628	629	630	631	632	633	634	635	636	637	638	639	640	641	642	643	644	645	646	647	648	649	650	651	652	653	654	655	656	657	658	659	660	661	662	663	664	665	666	667	668	669	670	671	672	673	674	675	676	677	678	679	680	681	682	683	684	685	686	687	688	689	690	691	692	693	694	695	696	697	698	699	700	701	702	703	704	705	706	707	708	709	710	711	712	713	714	715	716	717	718	719	720	721	722	723	724	725	726	727	728	729	730	731	732	733	734	735	736	737	738	739	740	741	742	743	744	745	746	747	748	749	750	751	752	753	754	755	756	757	758	759	760	761	762	763	764	765	766	767	768	769	770	771	772	773	774	775	776	777	778	779	780	781	782	783	784	785	786	787	788	789	790	791	792	793	794	795	796	797	798	799	800	801	802	803	804	805	806	807	808	809	810	811	812	813	814	815	816	817	818	819	820	821	822	823	824	825	826	827	828	829	830	831	832	833	834	835	836	837	838	839	840	841	842	843	844	845	846	847	848	849	850	851	852	853	854	855	856	857	858	859	860	861	862	863	864	865	866	867	868	869	870	871	872	873	874	875	876	877	878	879	880	881	882	883	884	885	886	887	888	889	890	891	892	893	894	895	896	897	898	899	900	901	902	903	904	905	906	907	908	909	910	911	912	913	914	915	916	917	918	919	920	921	922	923	924	925	926	927	928	929	930	931	932	933	934	935	936	937	938	939	940	941	942	943	944	945	946	947	948	949	950	951	952	953	954	955	956	957	958	959	960	961	962	963	964	965	966	967	968	969	970	971	972	973	974	975	976	977	978	979	980	981	982	983	984	985	986	987	988	989	990	991	992	993	994	995	996	997	998	999	1000	1001	1002	1003	1004	1005	1006	1007	1008	1009	1010	1011	1012	1013	1014	1015	1016	1017	1018	1019	1020	1021	1022	1023	1024	1025	1026	1027	1028	1029	1030	1031	1032	1033	1034	1035	1036	1037	1038	1039	1040	1041	1042	1043	1044	1045	1046	1047	1048	1049	1050	1051	1052	1053	1054	1055	1056	1057	1058	1059	1060	1061	1062	1063	1064	1065	1066	1067	1068	1069	1070	1071	1072	1073	1074	1075	1076	1077	1078	1079	1080	1081	1082	1083	1084	1085	1086	1087	1088	1089	1090	1091	1092	1093	1094	1095	1096	1097	1098	1099	1100	1101	1102	1103	1104	1105	1106	1107	1108	1109	1110	1111	1112	1113	1114	1115	1116	1117	1118	1119	1120	1121	1122	1123	1124	1125	1126	1127	1128	1129	1130	1131	1132	1133	1134	1135	1136	1137	1138	1139	1140	1141	1142	1143	1144	1145	1146	1147	1148	1149	1150	1151	1152	1153	1154	1155	1156	1157	1158	1159	1160	1161	1162	1163	1164	1165	1166	1167	1168	1169	1170	1171	1172	1173	1174	1175	1176	1177	1178	1179	1180	1181	1182	1183	1184	1185	1186	1187	1188	1189	1190	1191	1192	1193	1194	1195	1196	1197	1198	1199	1200	1201	1202	1203	1204	1205	1206	1207	1208	1209	1210	1211	1212	1213	1214	1215	1216	1217	1218	1219	1220	1221	1222	1223	1224	1225	1226	1227	1228	1229	1230	1231	1232	1233	1234	1235	1236	1237	1238	1239	1240	1241	1242	1243	1244	1245	1246	1247	1248	1249	1250	1251	1252	1253	1254	1255	1256	1257	1258	1259	1260	1261	1262	1263	1264	1265	1266	1267	1268	1269	1270	1271	1272	1273	1274	1275	1276	1277	1278	1279	1280	1281	1282	1283	1284	1285	1286	1287	1288	1289	1290	1291	1292	1293	1294	1295	1296	1297	1298	1299	1300	1301	1302	1303	1304	1305	1306	1307	1308	1309	1310	1311	1312	1313	1314	1315	1316	1317	1318	1319	1320	1321	1322	1323	1324	1325	1326	1327	1328	1329	1330	1331	1332	1333	1334	1335	1336	1337	1338	1339	1340	1341	1342	1343	1344	1345	1346	1347	1348	1349	1350	1351	1352	1353	1354	1355	1356	1357	1358	1359	1360	1361	1362	1363	1364	1365	1366	1367	1368	1369	1370	1371	1372	1373	1374	1375	1376	1377	1378	1379	1380	1381	1382	1383	1384	1385	1386	1387	1388	1389	1390	1391	1392	1393	1394	1395	1396	1397	1398	1399	1400	1401	1402	1403	1404	1405	1406	1407	1408	1409	1410	1411	1412	1413	1414	1415	1416	1417	1418	1419	1420	1421	1422	1423	1424	1425	1426	1427	1428	1429	1430

формации будет $\theta_1^*(r) = 1$, что, как это следует из (6.8) и (6.5), эквивалентно равенству

$$\frac{U}{r} - \frac{\partial U}{\partial r} \Big|_{r=1=a_1 \tau / a_0} = 1$$

Решая это уравнение относительно r , мы определим искомую величину r_{\max} . Отсюда видно, что важно знать решение задачи на прямой $r - 1 = a_1 \tau / a_0$.

Для того чтобы знать решение, реализуемое формулой (6.18), на этой прямой (например, в рассмотренном случае при $a_0/a_1 = 1.34$ на отрезке $1 \leq r \leq 2.4$) достаточно иметь приближенное решение в малом в треугольнике 023 (фиг. 8), (у нас, например, $r_2 = 1.2$)

Таблица 3
Значения функции $U_3(r, \tau)$

$n \backslash m$	0	1	2	3	4	5	6	7	8	9	10	
0	0.000	0.000	0.000	0.000	0.000	0.001	0.001	0.002	0.003	0.004	0.005	U
	0.000	0.006	0.092	0.018	0.034	0.028	0.033	0.038	0.042	0.046	0.049	$-U_r$
	0.000	0.008	0.036	0.024	0.031	0.039	0.045	0.052	0.058	0.065	0.071	U_τ
1	0.001	0.001	0.001	0.001	0.001	0.002	—	—	—	—	—	U
	0.048	0.046	0.044	0.043	0.041	0.039	—	—	—	—	—	$-U_r$
	0.048	0.049	0.050	0.050	0.051	0.051	—	—	—	—	—	U_τ
2	0.004	0.004	0.005	0.005	0.006	0.006	0.006	0.006	0.007	0.007	0.007	U
	0.097	0.094	0.090	0.087	0.083	0.080	0.077	0.074	0.070	—	$-U_r$	
	0.096	0.095	0.095	0.094	0.093	0.092	0.092	0.092	0.091	0.091	0.091	U_τ
3	0.010	0.010	0.010	0.011	0.011	0.011	0.011	0.012	0.012	0.012	0.012	U
	0.148	0.144	0.139	0.135	0.131	0.127	0.123	0.119	—	$-U_r$		
	0.143	0.141	0.140	0.139	0.137	0.136	0.134	0.133	—	U_τ		
4	0.018	0.018	0.018	0.019	0.019	0.019	0.019	0.020	—	U		
	0.200	0.195	0.189	0.184	0.178	0.173	0.168	—	$-U_r$			
	0.189	0.182	0.184	0.182	0.179	0.177	0.175	—	U_τ			
5	0.028	0.028	0.028	0.028	0.028	0.028	0.028	—	U			
	0.253	0.244	0.236	0.229	0.223	0.216	—	$-U_r$				
	0.235	0.232	0.229	0.225	0.221	0.217	—	U_τ				
6	0.040	0.040	0.040	0.040	0.040	0.040	0.040	—	U			
	0.298	0.293	0.288	0.283	0.277	—	$-U_r$					
	0.280	0.276	0.272	0.268	0.265	—	U_τ					
7	0.055	0.055	0.055	0.055	—	U						
	0.355	0.350	0.345	0.339	—	$-U_r$						
	0.324	0.320	0.315	0.311	—	U_τ						
8	0.072	0.071	0.071	0.071	—	U						
	0.414	0.412	0.409	0.409	—	$-U_r$						
	0.367	0.361	0.355	0.355	—	U_τ						
9	0.091	0.089	0.089	0.089	—	U						
	0.476	0.473	0.473	0.473	—	$-U_r$						
	0.409	0.378	0.378	0.378	—	U_τ						
10	0.110	0.110	0.110	0.110	—	U						
	0.543	0.543	0.543	0.543	—	$-U_r$						
	0.447	0.447	0.447	0.447	—	U_τ						

Величина интенсивности максимальных пластических деформаций сдвига $\theta_2^*(r)$ определяется, если известно значение $\theta_1^*(r)$ на указанной прямой. Можно показать, что

$$\theta_2^*(r) = h_2[\theta_1^*(r) - 1] \quad (h_2 = \frac{G_e - G_p}{G_e}) \quad (6.20)$$

Остаточные напряжения $\tilde{\sigma}$ и остаточные смещения \tilde{u} находятся также без труда и в пластической зоне они выражаются формулами

$$\begin{aligned} \tilde{\sigma}_r(r) &= 3Kh_0 \left[\frac{1}{r^3} \int_1^R \frac{\theta_1(t) - \theta_0}{t} dt - \int_r^R \frac{\theta_1(t) - \theta_0}{t} dt \right] \\ \tilde{u}(r) &= -h_0 \left[\int_r^R \frac{\theta_1(t) - \theta_0}{t} dt + \frac{3K}{4r^2G_e} \int_1^R \frac{\theta_1(t) - \theta_0}{t} dt \right] \end{aligned} \quad (R = r_{\max})$$

Рассмотрим численный пример. Пусть $p_1(\tau) = 1.2(-1 + 2\tau)$. Материал считаем идеально пластичным с коэффициентом Пуассона $\sigma = 0.25$. Тогда $a_0/a_1 = 1.34$.

Пользуясь табл. 1, 2, 3, вычисляем значения функции

$$U = U_1 + 0.2U_2 - 2.4U_3$$

и подставляем их в условие

$$\frac{U}{r} - \frac{dU}{dr} = 1$$

Полученное уравнение решаем графически. Оказывается, что $r_{\max} = 1.17$. Максимальные безразмерные пластические деформации получаются при $r = 1$ и определяются из (6.20). Оказывается

$$\theta_2^*(1) = (1.36 - 1) = 0.36$$

Графики функций $\theta_1^*(r)$ и $\theta_2^*(r)$ даны на фиг. 10. Необходимое условие пассивности деформаций (6.19) здесь выполняется. В самом деле,

$$\frac{dp_1}{d\tau} = 2.4, \quad p_1(0) = -1.2, \quad 2.4 > \frac{3}{1.34}(-0.256 + 1.2) = 2.12$$

Расчет при больших начальных нагрузках требует значительных вычислений с использованием не только таблиц, но и формул (6.14) и (6.18), расширяющих сколь угодно область решения.

Поступила в редакцию

12 VI 1948

ЛИТЕРАТУРА

1. Альтшuler Л. В. ДАН. 1946, т. X, № 3.
2. Бахшиян Ф. А. ПММ. 1948, т. XII, № 3.
3. Рахматулин Х. А. ПММ. 1946, т. X, № 2.
4. Шапиро Г. С. ПММ. 1946, т. X, № 5—6.
5. Ильюшин А. А. ПММ. 1943, т. VII, № 4.
6. Рахматулин Х. А. ПММ. 1945, т. IX, № 1.